

## 时滞系统分数阶 $PI^\lambda$ 极点配置控制器设计

雷淑英, 王德进, 范毅军

(天津科技大学 电子信息与自动化学院, 天津 300222)

**摘要:** 利用参数空间法研究用  $PI^\lambda$  控制器实现时滞系统的闭环极点配置问题. 复平面上的阻尼角扇形区域和相对稳定度区域(该两区域构成一个梯形区域)被映射到控制器参数平面, 相应的控制器参数可以将闭环极点配置在梯形区域内, 从而保证所要求的系统性能. 仿真结果显示, 对于适当选取的分数阶  $PI^\lambda$  控制器的参数, 采用分数阶控制器可以取得比整数阶控制器更好的控制效果, 从极点配置的角度揭示了分数阶控制器的优越性.

**关键词:** 极点配置; 分数阶  $PI^\lambda$  控制器; 参数空间法; 时滞系统

中图分类号: TP273

文献标志码: A

## Pole placement with fractional-order $PI^\lambda$ controllers for time-delay systems

LEI Shu-ying, WANG De-jin, FAN Yi-jun

(School of Electronic Information and Automation, Tianjin University of Science and Technology, Tianjin 300222, China. Correspondent: WANG De-jin, E-mail: wdejin56@sina.com)

**Abstract:** The pole placement with fractional-order  $PI^\lambda$  controllers for time-delay systems is discussed by using the parameter space approach. The damping ratio angular sector region and the relative stability region in complex plane, which form a trapezoid region in the left-half of the complex plane, are mapped into the controller parameters space. Thus, the corresponding controller parameters can place all the closed-loop poles in the specified trapezoid region, and guarantee the performances of the closed-loop systems. Simulation results show that for appropriately selected parameters of the fractional-order  $PI^\lambda$  controller, better system performances can be achieved with the fractional-order controller than with the integer-order controller, and the superiority of fractional-order controllers is proved from the view point of the pole placement.

**Keywords:** pole placement; fractional-order  $PI^\lambda$  controllers; parameter space approach; time-delay systems

### 0 引言

分数阶微积分理论<sup>[1]</sup>可以追溯到300多年前. 分数阶模型是对许多实际过程的更精确的数学描述. 近年来, 分数阶控制系统的研究已成为一个热点课题, 其中很重要的一个方面就是分数阶控制器的设计<sup>[2-5]</sup>. 分数阶  $PI^\lambda D^\mu$  控制器<sup>[1-2]</sup>是分数阶控制器的一个典型代表, 它是常规整数阶PID控制器的一种推广. 目前, 关于分数阶  $PI^\lambda D^\mu$  控制器的设计(参数整定)已取得了一些结果, 如解析设计法<sup>[3]</sup>、图解设计法<sup>[4]</sup>、D-分解法<sup>[5]</sup>等. 另一方面, 极点配置对控制系统的稳定性、瞬态响应等性能具有重要的作用. PID控制器结构简单、应用广泛, 用其实现极点配置具有明显的工程意义. 文献[6]利用PID类型控制器, 对一阶、二阶过程

研究了极点配置问题, 而对高阶过程研究了主导极点配置问题. 文献[7]进一步研究主导极点配置问题, 并推广到了时滞系统. 利用分数阶  $PI^\lambda D^\mu$  控制器实现极点配置的研究成果尚不多见. 文献[8]利用变形的  $PI^\lambda$  控制器 ( $I^\lambda$ -P控制器) 讨论了一阶被控对象的极点配置问题并应用于永磁同步电机控制, 取得了良好的鲁棒性. 但该方法需要用遗传算法来确定分数阶控制器的分数阶次, 较为复杂, 且仅对一阶无时滞对象进行了研究. 文献[9]则针对二阶被控对象, 基于分数阶  $PI^\lambda D^\mu$  极点配置方法来整定常规整数阶PID控制器的参数.

本文采用参数空间法讨论利用分数阶  $PI^\lambda$  控制器实现时滞系统极点配置问题. 将全部闭环极点配置

收稿日期: 2014-03-01; 修回日期: 2014-10-28.

作者简介: 雷淑英(1964—), 女, 副教授, 硕士, 从事过程控制、分数阶系统等研究; 王德进(1956—), 男, 教授, 硕士, 从事鲁棒控制、时滞系统、分数阶系统等研究.

在复平面上规定的梯形区域内,以达到所要求的衰减特性和阻尼特性.与文献[6-7]的PID极点配置方法相比,本文的参数空间方法的特点在于可以实现分数阶PID极点配置控制器的设计.

## 1 映射函数

考虑图1所示的SISO LTI单位反馈控制系统.其中: $G(s)$ 为被控对象,即

$$G(s) = \frac{N(s)}{D(s)}e^{-Ls}; \quad (1)$$

$C(s)$ 为分数阶PI $^\lambda$ 控制器,即

$$C(s) = k_p + \frac{k_i}{s^\lambda}, \quad (2)$$

积分阶次 $0 < \lambda < 2$ .当 $\lambda = 1$ 时,即为常规整数阶PI控制器.系统的闭环拟特征多项式为

$$\Delta(s) = s^\lambda D(s) + N(s)(k_i + k_p s^\lambda)e^{-Ls}. \quad (3)$$

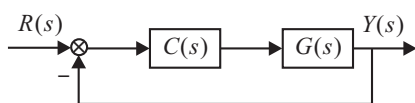


图1 单位反馈系统

通常,系统的稳定性和瞬态响应等均与闭环极点(特别是主导极点)在复平面上的位置有关.由经典控制理论可知,典型的极点配置区域为如图2所示的梯形区域(阴影线区域).设计控制器 $C(s)$ ,将期望的闭环极点配置在该区域内,既可以保证系统具有至少为 $\sigma$ 的相对稳定性(决定响应衰减的快慢),又可以获得期望的阻尼特性(决定响应超调的大小).

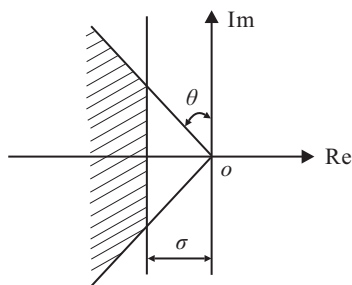


图2 s-平面的梯形区域

为了应用参数空间法实现极点配置,需将该梯形区域映射到参数空间.首先证明如下定理.

**定理1** 对于固定的时滞和控制器参数,定义如下两个映射多项式:

$$\tilde{\Delta}(w) = \Delta(s)\Delta(\bar{s})|_{s=we^{-j\theta}}, \quad (4)$$

$$\hat{\Delta}(w) = \Delta(s)|_{s=w-\sigma}. \quad (5)$$

其中: $\bar{s} = we^{j\theta}$ 为 $s$ 的复共轭, $\theta$ 为角形扇区的边界线与虚轴的夹角, $\sigma$ 为系统的相对稳定度,如图2所示.如果 $\tilde{\Delta}(w)$ 和 $\hat{\Delta}(w)$ 的全部根均位于 $w$ -平面的左半平面,则 $\Delta(s)$ 的全部根将位于 $s$ -平面的梯形区域内.

**证明** 首先注意到,映射(4)由两部分组成,即

$$\Delta(s)|_{s=we^{-j\theta}} = \Delta(we^{-j\theta}), \quad (6)$$

$$\Delta(\bar{s})|_{s=we^{-j\theta}} = \Delta(we^{j\theta}). \quad (7)$$

映射(6)将 $s$ -平面上第2象限中从原点出发的射线(见图2)顺时针旋转 $\theta$ ,成为 $w$ -平面上的正虚轴,而映射(7)将 $s$ -平面上第3象限中从原点出发的射线(见图2)逆时针旋转 $\theta$ ,成为 $w$ -平面上的负虚轴.从而映射(4)将 $s$ -平面上左半平面中的角形扇区“展开”为 $w$ -平面上的左半平面.如果 $\tilde{\Delta}(w)$ 的全部根均位于 $w$ -平面的左半平面,则 $\Delta(s)$ 的全部根将位于 $s$ -平面的角形扇区内.

在映射(5)下, $s$ -平面上具有相对稳定度 $\sigma$ 的竖直线(见图2)被向右平移 $\sigma$ ,成为 $w$ -平面上的虚轴.如果 $\hat{\Delta}(w)$ 的全部根均位于 $w$ -平面的左半平面,则 $\Delta(s)$ 的全部根将位于 $s$ -平面的竖直线 $\sigma$ 的左侧.

综上,如果 $\tilde{\Delta}(w)$ 和 $\hat{\Delta}(w)$ 的全部根均位于 $w$ -平面的左半平面,则 $\Delta(s)$ 的全部根将位于 $s$ -平面的梯形区域内.□

注意到,夹角 $\theta$ 与系统的阻尼角 $\beta$ 之间的关系为 $\beta = \pi/2 - \theta$ .

## 2 参数空间法

在式(3)中,对于固定的 $L > 0$ 和 $0 < \lambda < 2$ , $\Delta(s)$ 依赖于控制器的增益参数 $k_p$ 和 $k_i$ ,将其记为 $\Delta(s; k_p, k_i)$ .沿 $s$ -平面的虚轴,令 $\Delta(j\omega; k_p, k_i) = 0$ ,则可以在参数空间研究系统的稳定性<sup>[10]</sup>. $(k_p, k_i)$ -平面上的临界稳定边界线由3部分组成:实根边界(RRB),对应于 $\omega = 0$ ;复根边界(CRB),对应于 $\omega \in (0, +\infty)$ ;无穷根边界(IRB),对应于 $\omega \rightarrow +\infty$ .

在CRB情形下, $(k_p, k_i)$ -平面上的稳定域可按如下方法确定.首先将 $\Delta(j\omega; k_p, k_i)$ 分解为

$$\Delta(j\omega; k_p, k_i) = \Delta_r(\omega; k_p, k_i) + j\Delta_i(\omega; k_p, k_i),$$

其中 $\Delta_r$ 和 $\Delta_i$ 分别代表 $\Delta$ 的实部和虚部,且令

$$\begin{cases} \Delta_r(\omega; k_p, k_i) = 0, \\ \Delta_i(\omega; k_p, k_i) = 0, \end{cases}$$

以 $\omega$ 为参变量,解得 $(k_p(\omega), k_i(\omega))$ ;然后,沿虚轴计算Jacobi矩阵

$$J = \begin{bmatrix} \frac{\partial \Delta_r}{\partial k_p} & \frac{\partial \Delta_r}{\partial k_i} \\ \frac{\partial \Delta_i}{\partial k_p} & \frac{\partial \Delta_i}{\partial k_i} \end{bmatrix}. \quad (8)$$

如果 $\det J < 0$ ,则随着 $\omega$ 从0增加到 $+\infty$ ,曲线 $(k_p(\omega), k_i(\omega))$ 的右侧将给出参数平面上的稳定域.关于参数空间法的详细介绍可参阅文献[10].

## 3 极点配置

定理1指出,将闭环极点配置在 $s$ -平面的梯形区

域内, 等价于将极点配置在  $w$ -平面的左半平面. 应用第2节的参数空间法, 可以分别研究由式(4)和(5)给定的两个映射在参数平面上的稳定性.

对于由式(5)定义的映射  $\Delta(s; k_p, k_i)|_{s=w-\sigma}$ , 其中  $w = x + jy$ ,  $\sigma > 0$ ,  $w$ -平面上沿虚轴的分解为

$$\Delta(jy, \sigma; k_p, k_i) = \Delta_r(y, \sigma; k_p, k_i) + j\Delta_i(y, \sigma; k_p, k_i).$$

给定  $\sigma > 0$ , 利用第2节的参数空间方法, 可以得到稳定域内满足要求的参数区域.

在式(6)的映射  $\Delta(s; k_p, k_i)|_{s=we^{-j\theta}}$ ,  $w = x + jy$ ,  $0 < \theta < \pi/2$  下,  $w$ -平面上沿虚轴的分解为

$$\Delta(jy, \theta; k_p, k_i) = \Delta_r(y, \theta; k_p, k_i) + j\Delta_i(y, \theta; k_p, k_i).$$

给定  $0 < \theta < \pi/2$ , 利用第2节的参数空间方法, 可以得到稳定域内满足要求的参数区域.

**注1** 在定理1的证明过程中, 映射(4)是由(6)和(7)两个映射组成的. 由于对称性, 在参数空间, 它们给出了相同的参数关系, 即相同的参数边界曲线. 因此, 只需考虑一个映射, 即  $\Delta(s; k_p, k_i)|_{s=jye^{-j\theta}}$  且  $y > 0$  或  $\Delta(s; k_p, k_i)|_{s=jye^{j\theta}}$  且  $y < 0$ .

**例1** 给定如下时滞伺服对象<sup>[10]</sup>:

$$G(s) = \frac{5}{s(s+0.7)(s+7)} e^{-0.23s}.$$

利用PI<sup>λ</sup>控制器(2), 系统的闭环拟特征方程为

$$\Delta(s) = s^{\lambda+1}(s^2 + 7.7s + 4.9) + 5(k_i + k_p s^\lambda)e^{-0.23s} = 0. \quad (9)$$

首先考虑相对稳定度问题. 对式(9)作变换  $s = w - \sigma$ , 取  $\sigma = 0.1$ , 有

$$\begin{aligned} \Delta(w, \sigma = 0.1; k_p, k_i) = \\ (w - 0.1)^{\lambda+1}[(w - 0.1)^2 + 7.7(w - 0.1) + 4.9] + \\ 5[k_i + k_p(w - 0.1)^\lambda]e^{-0.23(w-0.1)} = 0. \end{aligned} \quad (10)$$

在式(10)中令  $w = 0$ , 分别取  $\lambda = 1.0$  和  $\lambda = 0.5$ , 在  $(k_p, k_i)$ -平面上得到RRB为

$$k_i = \begin{cases} 0.1k_p - 0.00828e^{-0.023}, & \lambda = 1.0; \\ 0, & \lambda = 0.5. \end{cases}$$

均为直线, 分别如图3中的实线( $\lambda = 1.0$ )和虚线( $\lambda = 0.5$ )所示. 令  $w = jy$ ,  $y \in (0, +\infty)$ , 分解  $\Delta(jy, \sigma = 0.1; k_p, k_i)$  为实部和虚部, 应用参数空间法,  $(k_p, k_i)$ -平面上的CRB分别如图3中的实线( $\lambda = 1.0$ )和虚线( $\lambda = 0.5$ )所示(箭头表示  $\omega$  增加的方向). 此时, 由式(8)算得

$$\begin{aligned} \det J = -25(y^2 + 0.01)^{\frac{\lambda}{2}} \sin[\lambda(\pi - \tan^{-1} 10y)] < 0, \\ 0 < \lambda < 1. \end{aligned}$$

因此, 曲线的右侧为期望的  $\sigma \geq 0.1$  区域.

当  $y \rightarrow +\infty$  时, IRB 不存在<sup>[10]</sup>.

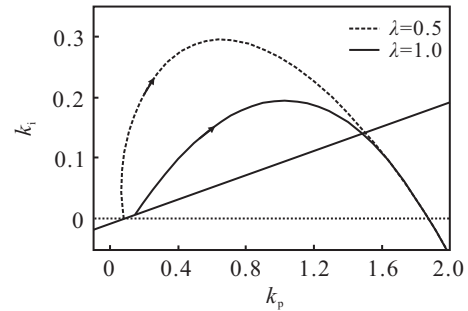


图3  $\sigma = 0.1$ ,  $(k_p, k_i)$ -平面上的参数区域

然后, 考虑阻尼比问题. 在式(9)中令  $s = we^{-j\theta}$ ,

取  $\theta = \pi/4$ , 得到

$$\begin{aligned} \Delta\left(w, \theta = \frac{\pi}{4}; k_p, k_i\right) = \\ w^{\lambda+1}e^{-j\frac{(\lambda+1)\pi}{4}}(w^2e^{-j\frac{\pi}{2}} + 7.7we^{-j\frac{\pi}{4}} + 4.9) + \\ (5k_i + 5k_p w^\lambda e^{-j\frac{\lambda\pi}{4}})e^{-0.23we^{-j\frac{\pi}{4}}} = 0. \end{aligned} \quad (11)$$

在式(11)中令  $w=0$ , 可得  $(k_p, k_i)$ -平面上的RRB为

$$k_i = 0, \lambda = 1.0, \lambda = 0.5.$$

在式(11)中令  $w = jy$ ,  $y \in (0, +\infty)$ , 将相应的  $\Delta(jy, \theta = \pi/4; k_p, k_i)$  分解为实部和虚部, 利用参数空间法可得  $(k_p, k_i)$ -平面上的CRB, 分别如图4中的实线( $\lambda = 1.0$ )和虚线( $\lambda = 0.5$ )所示. 再由式(8), 有

$$\det J = -25y^2 \sin\left(\frac{\lambda\pi}{4}\right) < 0, \quad 0 < \lambda < 1.$$

所以, 曲线的右侧为期望的  $\theta \geq \pi/4$  区域. 此时, IRB 也不存在.

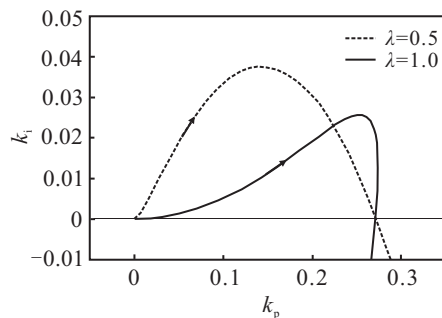


图4  $\theta = \pi/4$ ,  $(k_p, k_i)$ -平面上的参数区域

由图3和图4可见,  $\lambda = 0.5$  对应的参数区域要大于  $\lambda = 1.0$  对应的参数区域. 实际上, 随着分数阶次  $\lambda$  的进一步减小, 参数区域进一步扩大<sup>[4]</sup>. 这意味着, 对于适当选取的  $k_p$  和  $k_i$  值, 采用分数阶PI<sup>λ</sup>控制器可以取得比整数阶PI控制器更好的衰减特性和阻尼特性. 可以做如下验证. 将图3和图4合在一起得到图5, 由图5得到  $\lambda = 1.0$  对应的两条实线的交点为  $k_p = 0.1607$ ,  $k_i = 0.0128$ . 采用一阶Pade近似, 相应的闭环极点分布为

$$\lambda = 1.0: -8.5654, -7.1788, -0.4518, \\ -0.0999 \pm j0.1003,$$

满足  $\sigma = 0.1$  和  $\theta = \pi/4$  的要求.

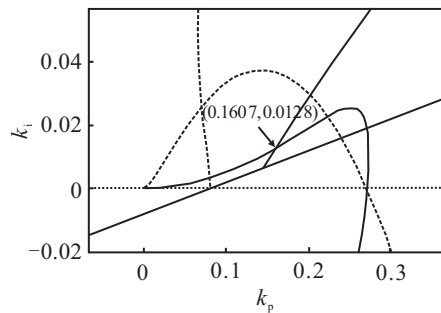


图 5  $(k_p, k_i)$ -平面上的参数曲线

当取分数阶次时, 第一黎曼面上的闭环极点分布为

$$\lambda = 0.5: -7.1809 \pm j0.0058, -0.2536 \pm j0.1279,$$

即  $\sigma = 0.2536$ , 阻尼角  $\beta \leq 26.6^\circ$ .

$$\lambda = 0.2: -7.1895 \pm j0.0062, -0.2996 \pm j0.1375,$$

即  $\sigma = 0.2996$ , 阻尼角  $\beta \leq 24.5^\circ$ .

3种积分阶次下的单位阶跃响应如图6所示. 可见, 分数阶次越低, 响应衰减得越快, 超调也越小.

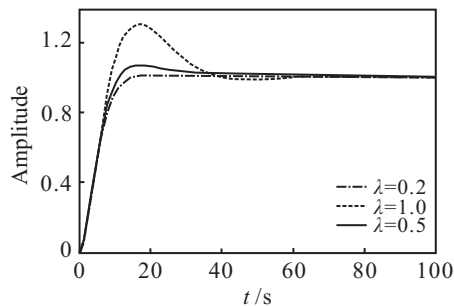


图 6 单位阶跃响应

注 2 当  $1 < \lambda < 2$  时, 图 3 和图 4 对应的参数区域将减小, 阶跃响应衰减缓慢, 且振荡剧烈.

## 4 结 论

本文针对时滞被控对象, 基于参数空间方法, 讨论了利用分数阶  $PI^\lambda$  控制器实现闭环极点配置的问题. 从具体仿真算例可以看到, 该方法的特点是分数阶控制器参数的选择具有很大的灵活性, 特别是对分

数阶次没有任何约束. 该方法可以进一步推广到分数阶  $PI^\lambda D^\mu$  控制器的情形.

## 参考文献(References)

- [1] Podlubny I. Fractional differential equations[M]. San Diego: Academic Press, 1999: 243-256.
- [2] Podlubny I. Fractional-order systems and  $PI^\lambda D^\mu$  controllers[J]. IEEE Trans on Automatic Control, 1999, 44(1): 208-214.
- [3] Luo Y, Chen Y Q, Wang C Y, et al. Tuning fractional order proportional integral controllers for fractional order systems[J]. J of Process Control, 2010, 20(7): 823-831.
- [4] Wang D, Zhang J. A graphical tuning of  $PI^\lambda$  controllers for fractional-order systems[J]. J of Control Theory and Applications, 2011, 9(4): 599-603.
- [5] Hamamci S E. An algorithm for stabilization of fractional-order time-delay systems using fractional-order PID controllers[J]. IEEE Trans on Automatic Control, 2007, 52(10): 1964-1969.
- [6] Astrom K J, Hagglund T. PID controllers: Theory, design, and tuning[C]. Instrument Society of America. North Carolina, 1995: 173-193.
- [7] Wang Q G, Zhang Z, Astrom K J, et al. Guaranteed dominant pole placement with PID controllers[J]. J of Process Control, 2009, 19(2): 349-352.
- [8] Mansouri R, Djennoune S, Bettayeb M. Fractional I-P pole placement controller design: Application to permanent magnet synchronous motor control[J]. Int J of Modelling, Identification and Control, 2008, 4(2): 176-185.
- [9] Saha S, Das S, Das S, et al. A conformal mapping based fractional order approach for sub-optimal tuning of PID controllers with guaranteed dominant pole placement[J]. Communications in Nonlinear Science and Numerical Simulation, 2012, 17(9): 3628-3642.
- [10] 王德进. 时滞系统低阶控制器设计: 参数空间法[M]. 北京: 科学出版社, 2013: 62-69.  
(Wang D J. Low-order controller design for time-delay systems: A parameter space approach[M]. Beijing: Science Press, 2013: 62-69.)

(责任编辑: 李君玲)